



Raport

z badań poziomu natężenia pola elektrycznego
w otoczeniu stacji bazowej:

JSL3302

na podstawie sprawozdania OS/1009/24 udostępnionego przez EKO-Connect Sp. z o. o.

Laboratorium prowadzące badania

EKO-Connect Sp. z o. o.
Miodowa 14A
60-591 Poznań
790 200 181

Zleceniodawca badań

P4 Sp. z o.o.
Wynalazek 1
02-677 Warszawa
790 500 500
kontakt@play.pl

Nr akredytacji: AB1810

Data wydania sprawozdania: 15.11.2024

Raport zawiera wybrane elementy sprawozdania i służy wyłącznie obrazowemu przedstawieniu informacji o danej instalacji. Raport nie może być wykorzystywany w postępowaniach administracyjnych.

Informacje ogólne

Zgodność z metodyką RMK: Tak

Ograniczenia: Na podstawie art. 122a ust. 1b ustawy Prawo ochrony środowiska (t.j. Dz.U. z 2020 r., poz. 1219, 1378, 1565, 2127, 2338, z 2021 r. poz. 802, 868, 1047, 1162, 1535.), pomiary PEM w lokalach mieszkalnych i użytkowych zlokalizowanych w obszarze pomiarowym badanej stacji bazowej nie zostały przeprowadzone.

Wykorzystanie w obszarze regulowanym: Tak

Przedmiot badań

Identyfikator stacji w UKE	JSL3302
Operator	P4 Sp. z o.o.
Współrzędne	21,4852750; 49,7561410
Rodzaj pracy	ciągła
Rodzaj wytwarzanego pola	stacjonarne

Miejsce badań

Otoczenie stacji bazowej JSL3302 w lokalizacji Jasło, Na Kotlinę 8.

Cel badań

1. Zweryfikowanie zgodności z wymaganiami rozporządzenia Ministra Zdrowia z dnia 19 grudnia 2019 r.

Opis stacji bazowych

Tabela 1: Opis anten badanych stacji bazowych

Lp.	Identyfikator stacji w UKE	Typ Producent anteny	Azymut	H	EIRP	Pasmo	Tilt	Tilt w trakcie pomiarów
			[°]	[m]	[W]	[MHz]	[°]	[°]
1	JSL3302	ATR4518R6v06 Huawei	80	12,90	12938*	LTE 2600 LTE 800 LTE 2600	0,0 - 10,0 0,0 - 10,0 0,0 - 10,0	5,0 5,0 5,0
2		ATR4518R6v06 Huawei	80	12,90	18103*	UMTS 900 LTE 2100 LTE 1800 LTE 2100 LTE 1800	0,0 - 10,0 0,0 - 10,0 0,0 - 10,0 0,0 - 10,0 0,0 - 10,0	5,0 5,0 5,0 5,0 5,0
3		AIR 3278 Ericsson	80	13,60	10215*	NR 3500	4,0 - 9,0	5,0
4		ATR4518R6v06 Huawei	180	12,90	12938*	LTE 2600 LTE 800 LTE 2600	0,0 - 10,0 0,0 - 10,0 0,0 - 10,0	5,0 5,0 5,0
5		ATR4518R6v06 Huawei	180	12,90	18103*	LTE 1800 LTE 1800 UMTS 900 LTE 2100 LTE 2100	0,0 - 10,0 0,0 - 10,0 0,0 - 10,0 0,0 - 10,0 0,0 - 10,0	5,0 5,0 5,0 5,0 5,0
6		AIR 3278 Ericsson	180	13,60	10215*	NR 3500	4,0 - 9,0	5,0
7		ATR4518R6v06 Huawei	295	11,30	12938*	LTE 800 LTE 2600 LTE 2600	0,0 - 10,0 0,0 - 10,0 0,0 - 10,0	5,0 5,0 5,0
8		ATR4518R6v06 Huawei	295	11,30	18103*	LTE 1800 LTE 2100 UMTS 900 LTE 1800 LTE 2100	0,0 - 10,0 0,0 - 10,0 0,0 - 10,0 0,0 - 10,0 0,0 - 10,0	5,0 5,0 5,0 5,0 5,0
9		AIR 3278 Ericsson	295	11,90	10215*	NR 3500	4,0 - 9,0	5,0

* moc EIRP łączna dla wszystkich częstotliwości anteny

Warunki pomiarów

Pomiary w wyznaczonych punktach wykonano w następujących warunkach:

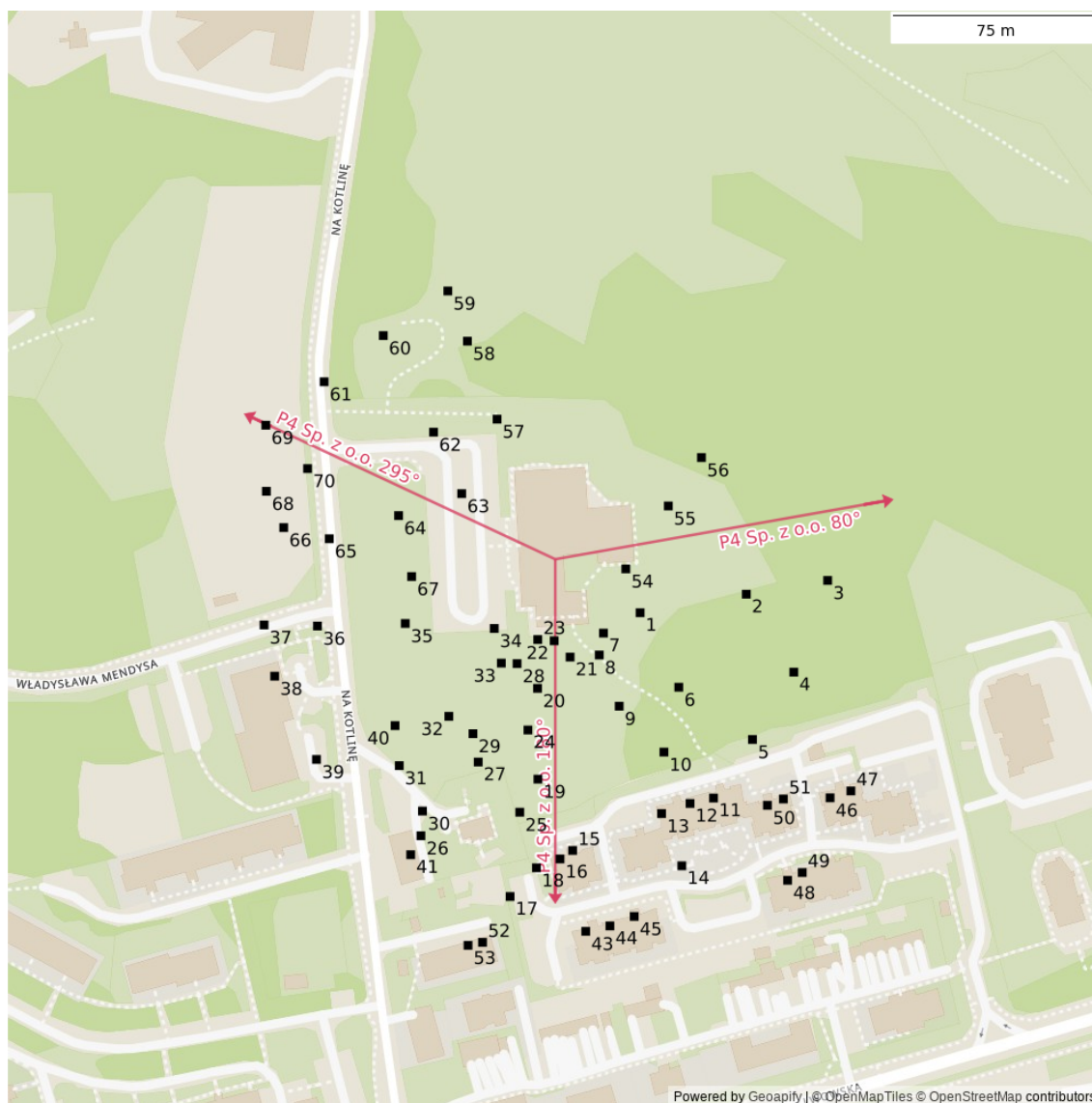
13.11.2024 18:00-19:30			
Warunki środowiskowe	Temperatura [°C]	Wilgotność [%]	Opady
Minimalna	1,3	74,0	brak
Maksymalna	1,6	74,4	

Aparatura

Tabela 2: Aparatura

MIERNIKI I SONDY					
Lp.	Typ / Nazwa	Model	Producent	Próg detekcji	Świadectwo wzorcowania
1a	miernik	NBM- 520	Narda		LWiMP/W/56/23 z dn. 17.02.2023 wydane przez Laboratorium Wzorców i Metrologii Pola Elektromagnetycznego Instytutu Telekomunikacji, Teleinformatyki i Akustyki Politechniki Wrocławskiej
1b	sonda	EF-0691	Narda	0,80	
2a	miernik	NBM- 520	Narda		LWiMP/W/0157/24 z dn. 16.05.2024 wydane przez Laboratorium Wzorców i Metrologii Pola Elektromagnetycznego Instytutu Telekomunikacji, Teleinformatyki i Akustyki Politechniki Wrocławskiej
2b	sonda	EF-9091	Narda	0,80	
POZOSTAŁE					
Lp.	Typ / Nazwa	Model	Producent	Świadectwo wzorcowania	
3	termohigrometr	Termioplus - S	Mera	LPTW/586/2024 z dn. 01.03.2024 wydane przez LTWP	

Lokalizacje pionów pomiarowych



Rysunek 1: Plan terenu

Dodatkowe informacje o punktach

- punkt 11:** Lwowska 49e - parter, otwarte okno
- punkt 12:** Lwowska 49e - 1. piętro, otwarte okno
- punkt 13:** Lwowska 49e - 2. piętro, otwarte okno
- punkt 15:** Lwowska 49f - parter, otwarte okno
- punkt 16:** Lwowska 49f - 1. piętro, otwarte okno
- punkt 38:** Na Kotlinę 27 - parter, balkon
- punkt 41:** Na Kotlinę 6 - wewnątrz obiektu handlowego
- punkt 43:** Lwowska 49G - parter, otwarte okno

punkt 44: Lwowska 49G - 1. piętro, otwarte okno

punkt 45: Lwowska 49G - 2. piętro, otwarte okno

punkt 46: Lwowska 49D - parter, otwarte okno

punkt 47: Lwowska 49D - 1. piętro, otwarte okno

punkt 48: Lwowska 49H - parter, otwarte okno

punkt 49: Lwowska 49H - 1. piętro, otwarte okno

punkt 50: Lwowska 49e - parter, otwarte okno

punkt 51: Lwowska 49e - 1. piętro, otwarte okno

punkt 52: Na Kotlinę 4 - parter, otwarte okno

punkt 53: Na Kotlinę 4 - 1. piętro, otwarte okno

Wyniki pomiarów szerokopasmowych

Tabela 3: Zestawienie lokalizacji pionów pomiarowych oraz wyników pomiarów natężenia pola elektrycznego, pomiary szerokopasmowe

Nazwa	Data	Współrzędne geograficzne	E	WM _E	H	WM _H
		[°]	[$\frac{V}{m}$]		[$\frac{A}{m}$]	
1	13.11.2024	21,4857056 49,7559658	1,62	0,058	0,004	0,059
2	13.11.2024	21,4862445 49,7560264	< 1,06	< 0,038	< 0,003	< 0,039
3	13.11.2024	21,4866573 49,7560716	1,17	0,042	0,003	0,043
4	13.11.2024	21,4864854 49,7557710	1,37	0,049	0,004	0,050
5	13.11.2024	21,4862758 49,7555501	1,17	0,042	0,003	0,043
6	13.11.2024	21,4859019 49,7557215	< 1,06	< 0,038	< 0,003	< 0,039
7	13.11.2024	21,4855196 49,7558988	1,62	0,058	0,004	0,059
8	13.11.2024	21,4854985 49,7558271	1,37	0,049	0,004	0,050
9	13.11.2024	21,4855995 49,7556593	1,17	0,042	0,003	0,043
10	13.11.2024	21,4858266 49,7555090	1,37	0,049	0,004	0,050
11	13.11.2024	-	1,49	0,053	0,004	0,054

Ciąg dalszy na następnej stronie

Tabela 3: Zestawienie lokalizacji pionów pomiarowych oraz wyników pomiarów natężenia pola elektrycznego, pomiary szerokopasmowe (c.d.)

Nazwa	Data	Współrzędne geograficzne	E	WM _E	H	WM _H
		[°]	[$\frac{V}{m}$]		[$\frac{A}{m}$]	
12	13.11.2024	–	1,45	0,052	0,004	0,053
13	13.11.2024	–	1,76	0,063	0,005	0,064
14	13.11.2024	21,4859172 49,7551363	< 1,06	< 0,038	< 0,003	< 0,039
15	13.11.2024	–	1,52	0,054	0,004	0,055
16	13.11.2024	–	1,89	0,068	0,005	0,069
17	13.11.2024	21,4850458 49,7550356	< 1,06	< 0,038	< 0,003	< 0,039
18	13.11.2024	21,4851793 49,7551296	1,37	0,049	0,004	0,050
19	13.11.2024	21,4851872 49,7554202	1,21	0,043	0,003	0,044
20	13.11.2024	21,4851850 49,7557178	1,37	0,049	0,004	0,050
21	13.11.2024	21,4853503 49,7558202	1,18	0,042	0,003	0,043
22	13.11.2024	21,4852695 49,7558737	1,62	0,058	0,004	0,059
23	13.11.2024	21,4851862 49,7558778	1,89	0,068	0,005	0,069
24	13.11.2024	21,4851363 49,7555813	< 1,06	< 0,038	< 0,003	< 0,039
25	13.11.2024	21,4850947 49,7553118	< 1,06	< 0,038	< 0,003	< 0,039
26	13.11.2024	21,4845932 49,7552346	1,18	0,042	0,003	0,043
27	13.11.2024	21,4848839 49,7554763	< 1,06	< 0,038	< 0,003	< 0,039
28	13.11.2024	21,4850813 49,7557989	1,17	0,042	0,003	0,043
29	13.11.2024	21,4848574 49,7555693	< 1,06	< 0,038	< 0,003	< 0,039
30	13.11.2024	21,4846009 49,7553156	< 1,06	< 0,038	< 0,003	< 0,039
31	13.11.2024	21,4844832 49,7554646	< 1,06	< 0,038	< 0,003	< 0,039
32	13.11.2024	21,4847350 49,7556260	< 1,06	< 0,038	< 0,003	< 0,039
33	13.11.2024	21,4850014 49,7558006	< 1,06	< 0,038	< 0,003	< 0,039
34	13.11.2024	21,4849654 49,7559141	1,22	0,044	0,003	0,044

Ciąg dalszy na następnej stronie

Tabela 3: Zestawienie lokalizacji pionów pomiarowych oraz wyników pomiarów natężenia pola elektrycznego, pomiary szerokopasmowe (c.d.)

Nazwa	Data	Współrzędne geograficzne	E	WM _E	H	WM _H
		[°]	[$\frac{V}{m}$]		[$\frac{A}{m}$]	
35	13.11.2024	21,4845140 49,7559305	< 1,06	< 0,038	< 0,003	< 0,039
36	13.11.2024	21,4840683 49,7559220	< 1,06	< 0,038	< 0,003	< 0,039
37	13.11.2024	21,4837971 49,7559256	1,34	0,048	0,004	0,049
38	13.11.2024	–	1,52	0,054	0,004	0,055
39	13.11.2024	21,4840633 49,7554849	1,34	0,048	0,004	0,049
40	13.11.2024	21,4844621 49,7555958	< 1,06	< 0,038	< 0,003	< 0,039
41	13.11.2024	–	< 1,06	< 0,038	< 0,003	< 0,039
43	13.11.2024	–	1,22	0,044	0,003	0,044
44	13.11.2024	–	1,50	0,054	0,004	0,055
45	13.11.2024	–	1,50	0,054	0,004	0,055
46	13.11.2024	–	1,45	0,052	0,004	0,053
47	13.11.2024	–	1,49	0,053	0,004	0,054
48	13.11.2024	–	1,50	0,054	0,004	0,055
49	13.11.2024	–	1,52	0,054	0,004	0,055
50	13.11.2024	–	1,62	0,058	0,004	0,059
51	13.11.2024	–	1,52	0,054	0,004	0,055
52	13.11.2024	–	1,22	0,044	0,003	0,044
53	13.11.2024	–	1,37	0,049	0,004	0,050
54	13.11.2024	21,4856330 49,7561094	1,50	0,054	0,004	0,055
55	13.11.2024	21,4858488 49,7563155	1,18	0,042	0,003	0,043
56	13.11.2024	21,4860169 49,7564741	< 1,06	< 0,038	< 0,003	< 0,039
57	13.11.2024	21,4849796 49,7566001	1,17	0,042	0,003	0,043
58	13.11.2024	21,4848292 49,7568557	< 1,06	< 0,038	< 0,003	< 0,039
59	13.11.2024	21,4847298 49,7570202	1,37	0,049	0,004	0,050
60	13.11.2024	21,4844022 49,7568739	< 1,06	< 0,038	< 0,003	< 0,039
61	13.11.2024	21,4841022 49,7567226	1,22	0,044	0,003	0,044
62	13.11.2024	21,4846574 49,7565574	1,62	0,058	0,004	0,059

ciąg dalszy na następnej stronie

Tabela 3: Zestawienie lokalizacji pionów pomiarowych oraz wyników pomiarów natężenia pola elektrycznego, pomiary szerokopasmowe (c.d.)

Nazwa	Data	Współrzędne geograficzne	E	WM _E	H	WM _H
		[°]	[$\frac{V}{m}$]		[$\frac{A}{m}$]	
63	13.11.2024	21,4848002 49,7563560	1,52	0,054	0,004	0,055
64	13.11.2024	21,4844799 49,7562840	1,50	0,054	0,004	0,055
65	13.11.2024	21,4841281 49,7562081	1,17	0,042	0,003	0,043
66	13.11.2024	21,4838969 49,7562447	< 1,06	< 0,038	< 0,003	< 0,039
67	13.11.2024	21,4845462 49,7560842	1,22	0,044	0,003	0,044
68	13.11.2024	21,4838090 49,7563637	< 1,06	< 0,038	< 0,003	< 0,039
69	13.11.2024	21,4838062 49,7565802	< 1,06	< 0,038	< 0,003	< 0,039
70	13.11.2024	21,4840181 49,7564381	< 1,06	< 0,038	< 0,003	< 0,039

Podsumowanie

Na podstawie wyników pomiarów pola elektromagnetycznego przedstawionych w niniejszym raporcie o nr OS/1009/24 opracowanym przez EKO-Connect Sp. z o. o. stwierdza się, że w otoczeniu stacji bazowej JSL3302 dopuszczalne poziomy pól elektromagnetycznych w środowisku, określone w przepisach wydanych na podstawie art. 122 ust. 1 ustawy z dnia 27 kwietnia 2001 r. – Prawo ochrony środowiska uznaje się za **dotrzymane**. Udokumentowano, że w żadnym pionie pomiarowym wartości wskaźnikowe WM_E oraz WM_H nie przekroczyły 1.

Osoby odpowiedzialne

Wykonanie pomiarów: b.d.

Opracowanie sprawozdania: b.d.

Autoryzacja sprawozdania: Wojciech Lubiński (Kierownik ds. Jakości)